

تأثیر نوع و ضخامت لایه مغزی در خواص مکانیکی و هدایت حرارتی پانل عایق ساختمانی ساخته شده با تخته تراشه جهت دار صنوبر

محراب مدهوشی^{۱*}، رسول باقری سراجی^۲، تقی طبرسا^۳

۱. دانشیار گروه تکنولوژی و مهندسی چوب، دانشگاه علوم کشاورزی و منابع طبیعی گرگان، گرگان، ایران
۲. دانش آموخته کارشناسی ارشد، فرآوردهای چندسازه چوبی، دانشگاه علوم کشاورزی و منابع طبیعی گرگان، گرگان، ایران
۳. استاد گروه تکنولوژی و مهندسی چوب، دانشگاه علوم کشاورزی و منابع طبیعی گرگان، گرگان، ایران

تاریخ دریافت: ۱۳۹۹/۰۴/۲۵، تاریخ پذیرش: ۱۳۹۹/۰۱/۰۵

چکیده

یکی از مباحث مهم در ساختمان، صرفه جویی انرژی همراه با تأمین مقاومت کافی در کل سازه است. در این زمینه، پانل های عایق ساختمانی به دلیل مزیت هایی مانند سازه های مستحکم، عایق بودن، صرفه جویی اقتصادی در ساخت و حفظ انرژی، همواره گزینه مناسبی به شمار می روند. هدف این تحقیق، بررسی خواص مکانیکی و هدایت حرارتی پانل های عایق ساختمانی ساخته شده با لایه روبی تخته تراشه جهت دار صنوبر و دو نوع لایه مغزی پلی استایرن منبسط شده و هوا (بدون لایه مغزی) با دو ضخامت لایه مغزی ۲ و ۴ سانتی متر است. تخته تراشه جهت دار با توجیه دستی تراشه های صنوبر به صورت سه لایه عمود بر هم و با استفاده از چسب فنل فرمالدھید ساخته شد. در ادامه پانل های عایق ساختمانی ساخته شدند و برای کلاف دور تادور لایه مغزی پانل ها از چوب ماسیو استفاده شد. در ادامه پانل های عایق ساختمانی و نمونه های آزمونی در ابعاد استاندارد تهیه شد و آزمون های خم شی، فشار موازی الیاف، مقاومت انفصالتی خط چسب و هدایت حرارتی انجام گرفت. تحلیل آماری و نتایج نشان داد که با تغییر نوع لایه مغزی هوا به پلی استایرن، همه مقاومت های مکانیکی پانل عایق ساختمانی افزایش یافتند. افزایش ضخامت لایه مغزی نیز تأثیر مثبتی بر خواص مکانیکی پانل عایق ساختمانی داشت. به علاوه، نتایج نشان داد که نوع لایه مغزی در ضربیت هدایت حرارتی تقاضت معنی داری نداشت، اما افزایش ضخامت لایه مغزی ممکن است تأثیر مثبتی در کاهش ضربیت هدایت حرارتی در هر دو پانل با لایه مغزی هوا و پلی استایرن داشته باشد.

واژه های کلیدی: پانل عایق ساختمانی، تخته تراشه جهت دار، پلی استایرن منبسط شده، مقاومت مکانیکی، هدایت حرارتی.

ساختمانی بیش از پیش توجه شود [۱، ۲]. برای این منظور می توان از فرآورده های مهندسی شده چوب در ساخت ساختمان استفاده کرد که افزون بر تأمین مقاومت کافی، وزن به نسبت کمی دارند که بتعیین آن وزن کلی سازه نیز کاهش خواهد یافت [۳]. این فرآورده ها پیشرفت چشمگیری داشته اند و علاوه بر عناصر سازه ای باربر مهم مانند تیرهای لایه ای و متقطع، امروزه به صورت پانل های

مقدمه

امروزه، توسعه شهرنشینی و افزایش سرعت ساخت و ساز سبب شده که در ساخت ساختمان های مسکونی و تجاری به مواردی مانند ذخیره انرژی و عایق کردن همراه با تأمین مقاومت های مکانیکی با ضربیت اطمینان کافی در مواد

* نویسنده مسئول، تلفن: ۰۱۷۳۴۴۲۷۱۷۶
Email: madhoushi@gau.ac.ir

ساخته شده با پانل عایق ساختمانی در برابر نیروهای خمی و برشی مقاومت بیشتری از ساختمان معمولی دارند و ساختمان‌های ساخته شده با آنها در مقابل زلزله و توفان مقاومت‌های خوبی از خود نشان داده‌اند. همچنین، از جنبهٔ اقتصادی، ساخت خود این پانل‌ها به‌نسبت سریع است و استفاده از این پانل‌ها سبب کاهش هزینه و افزایش سرعت ساخت ساختمان می‌شود [۱۲]. استفاده از این نوع پانل عایق ساختمانی به‌دلیل امکان افزایش وسعت پنجره و به‌تبع آن کنترل بهتر نور در روز، دارای چهار برابر ذخیره انرژی بیشتری به‌موقع خانه‌های سنتی است و صرفه‌جویی انرژی ممکن می‌کند [۱۰]. هرچند باید به این نکته توجه داشت که این پانل‌ها به‌دلیل انتشار گازهای فنولیک در داخل فضای ساختمان (مانند همهٔ فرآورده‌های چوبی متصل شده با رزین‌های فنولیک) ممکن است برای سلامت زیان داشته و اثرهای منفی زیست‌محیطی نیز داشته باشند. به همین دلیل استفاده از یک لایهٔ پوششی هرچند نازک مانند گچ تأثیر بسزایی برای ممانعت از انتشار گازهای آلینده دارد [۱۲]؛ به همین دلیل در تحقیقات خارج از کشور، استفاده از مواد طبیعی مانند کنف به‌جای تخته‌تراشهٔ جهت‌دار پیشنهاد شده است و تحلیل نتایج مطابق آینه‌های ایزو نشان داد این مواد اثرهای منفی زیست‌محیطی کمتری دارد [۱۵]؛ هرچند در داخل کشور دسترسی به منابع مشابه کنف با محدودیت‌ها و چالش‌هایی همراه است.

در زمینهٔ عملکرد حرارتی، نتایج تحقیقات قبلی نشان می‌دهد که دیوار ساخته شده با پانل عایق ساختمانی با لایهٔ مغزی پلی‌استایرن منبسط‌شده ۳۱ درصد عملکرد حرارتی بهتری در مقایسه با دیوار ساخته شده با چوب ماسیو دارد [۱۱]. این در حالی است که امروزه در حدود ۴۰ درصد انرژی مصرفی ایران در بخش ساختمان (مسکونی، تجاری و صنعتی) استفاده می‌شود [۱۶، ۲] که بخش زیادی از آن صرف سیستم گرمایشی و سرمایشی می‌شود و در این

ساندویچی استفاده می‌شوند که حجم ماده اولیه در آنها به‌طور چشمگیری کاهش یافته است [۴]. این پانل‌های عایقی با نام تجاری «پانل عایق ساختمانی» (SIP¹) کاربرد زیادی در ساختمان‌های چوبی دارند [۲]؛ مشابه دیگر ساختمان‌ها که انواع دیگری از این پانل‌ها با لایه‌های سطحی متنوع به کار می‌روند و عملکرد مقاومتی به‌نسبت خوبی نیز دارند. در لایه‌های سطحی این پانل‌ها از مواد مختلف مانند تخته سیمان‌های ساخته شده برپایه اکسید مسیزیم [۵] و مواد کم‌هزینه و گرمایشی شیشه و پلی‌پروپیلن [۶] می‌توان استفاده کرد. در این پانل‌ها برای مصارف سازه‌ای با تحمل نیروی زیاد مانند سیستم سقف و کف، برای لایهٔ مغزی به‌طور معمول از مواد پرتراکم مانند پلی‌اورتان، پلی‌استایرن، پشم سنگ و پشم شیشه استفاده می‌شود، ولی در صورتی که تحمل نیروی زیاد ضرورتی نداشته باشد، مانند دیوارهای پوششی، می‌توان لایهٔ مغزی را به صورت کنگره‌ای یا حتی فقط با هوا ساخت [۶، ۷]. بیشترین ماده به کاررفته به عنوان مغزی، مواد فوم‌شکل مانند پلی‌استایرن منبسط‌شده و پلی‌استایرن اکسترودشده هستند. هرچند تنها در ۵ درصد از موارد از پلی‌اورتان نیز استفاده می‌شود و استفاده بسیار محدودی از فوم ایزوسیانات نیز گزارش شده است [۱۰، ۱۱]. همچنین باید تحقیقات بیشتری برای لایه‌های سطحی و مغزی این نوع پانل‌ها صورت بگیرد تا بتوان به استانداردی جهانی برای پانل عایق ساختمانی دست یافت.

ایده اول ساخت این پانل‌ها توسط آزمایشگاه فرآورده‌های جنگلی آمریکا در سال ۱۹۳۵ مطرح شد. در سال ۱۹۹۰ این مرکز پانلی با نام تجاری SIP همراه با فوم عایق، سخت و محکم را تولید کرد و به عنوان یک برنده تجاری در خانه‌های چوبی به ثبت رساند [۱۲، ۱۳]. در این پانل ساندویچی سه‌لایه، لایه‌های سطحی وظیفه تأمین انواع مقاومت و لایهٔ مغزی با خصامت به‌نسبت زیاد وظیفه حفظ انرژی را دارند. با توجه به ارائه گزارش سازمان ملی ارزیابی آمریکا، ساختمان

هدایت حرارتی پانل عایق ساختمانی ساخته شده با تخته تراشه جهت دار صنوبر و دو نوع لایه مغزی پلی استایرن منبسط شده و هوا در ضخامت های مختلف است تا به عنوان اولین تحقیق در داخل کشور پتانسیل استفاده از آن در ساختمان سازی مشخص شود.

مواد و روش ها

مواد

مواد استفاده شده و متغیر های مورد نظر در این تحقیق به ترتیب در جداول های ۱ و ۲ آورده شده است.

زمینه، پوشش ساختمان تأثیر چشمگیری بر مقدار مصرف انرژی یا حفظ آن دارد.

نوع پوشش ها و همچنین نوع لایه مغزی این پانل ها بر عملکرد در برابر آتش آنها نیز تأثیر می گذارد [۱۶]. حضور لایه گچی تا حدودی می تواند سرعت تخریب ناشی از آتش را کاهش دهد (هر چند در سازوکار عملکردی در برابر آتش، خود این لایه ممکن است تا حدودی خطر جاداشدگی داشته باشد) و نوع لایه مغزی پلی اورتان نسبت به لایه مغزی پلی استایرن منبسط شده عملکرد بهتری دارد.

هدف اصلی تحقیق حاضر، بررسی خواص مکانیکی و

جدول ۱. مواد استفاده شده

ردیف	نوع ماده	روکش صنوبر	چوب نراد	چسب فنول	چسب پلی اورتان	پلی استایرن منبسط شده (EPS)
۱	روکش صنوبر	دهکده روکش آمل	-	-	-	-
۲	چوب نراد	-	-	-	-	-
۳	چسب فنول	-	-	-	-	-
۴	چسب پلی اورتان	-	-	-	-	-
۵	پلی استایرن منبسط شده (EPS)	-	-	-	-	-

جدول ۲. متغیرهای بررسی شده در تحقیق

ردیف	ضخامت لایه مغزی (cm)	نوع لایه مغزی	کد	(پلی استایرن) P	(هو) A
۱	*	*	A2	*	*
۲	*	*	A4	*	*
۳	*	*	P2	*	*
۴	*	*	P4	*	*

در مرحله بعد، به منظور ساخت تخته تراشه جهت دار، تراشه ها به چسب فنل فرمالدھید (با مواد جامد ۶۸ درصد) در دستگاه چسب زن و با درصد اختلاط ۷ آگوسته شدند و کیک تخته اولیه با استفاده از یک قالب چوبی به ابعاد ۳۵×۶۰ سانتی متر تشکیل شد. برای تشكیل کیک، تراشه ها به صورت ریزش دستی و جهت دهنده شده در داخل سینی مخصوص به صورت سه لایه مجرما و به نسبت مساوی شکل دهنده شدند، به طوری که تراشه های لایه های سطحی در جهت طول تخته و تراشه های لایه های میانی در جهت عمود بر این محور قرار گرفتند. سپس با قرار دادن فویل

ساخت تخته تراشه جهت دار صنوبر

برای این منظور، ابتدا روکش های به نسبت خشک صنوبر با ضخامت $\frac{1}{4}$ میلی متر از کارخانه دهکده روکش آمل، خریداری و به آزمایشگاه منتقل شد و سپس با قیچی مخصوص به رشته های نهایی به ابعاد 10×2 سانتی متر تبدیل شد. تراشه های تهیه شده به مدت ۷ ساعت در آون با دمای 10^3 درجه سلسیوس قرار گرفتند تا رطوبت آنها خارج شود. سپس، تراشه های خشک شده در داخل نایلون های دولایه برای جلوگیری از تبادل رطوبتی با محیط و همچنین برای استفاده در مراحل بعدی ذخیره شدند.



شکل ۱. نمونه‌هایی از پانل‌های ساخته شده

آزمون خمش

آزمون خمش سه نقطه‌ای، مطابق استاندارد (اصلاح شده) ASTM E1803 و توسط دستگاه آزمایشگاه مکانیک چوب دانشگاه تهران انجام گرفت. طول و عرض نمونه‌ها به ترتیب ۶۰ و ۵ سانتی‌متر و ضخامت در دو اندازه ۴ و ۶ سانتی‌متر در نظر گرفته شد. مقادیر مقاومت خمشی و مدول الاستیسیته خمشی براساس روابط موجود محاسبه شد.

آزمون مقاومت انفصالی خط چسب

این آزمون مطابق استاندارد 12 D1037 و توسط دستگاه Schenk ساخت آلمان و در آزمایشگاه مکانیک چوب دانشگاه علوم کشاورزی و منابع طبیعی گرگان انجام گرفت و نمونه‌ها در ابعاد ۵×۵ سانتی‌متر با ضخامت‌های ۴ و ۶ سانتی‌متر انتخاب شدند (شکل ۲). حداقل تنش و مقاومت انفصالی خط چسب مطابق روابط مربوطه محاسبه شد.



شکل ۲. نمونه‌های آزمون‌های انفصالی

آلومینیومی در دو طرف کیک و همچنین با استفاده از شابلون ۱۰ میلی‌متر، کیک تشکیل شده ابتدا تحت پیش‌پرس و سپس پرس اصلی گرم قرار گرفت. برای پرس اصلی، از دستگاه OTT ساخت آلمان با دمای ۱۸۰ درجه سلسیوس، مدت ۱۰ دقیقه و فشار ۳۰ بار استفاده شد. در ادامه، به‌منظور تکمیل مرحله انعقاد رزین، تخته‌ها به مدت یک هفته در فضای آزمایشگاه در داخل گیره‌های دستی قرار گرفتند تا از تغییرات ابعادی آنها جلوگیری شود.

ساخت پانل عایق ساختمانی

در این مرحله تخته‌تراشه‌های جهت‌دار ساخته شده به اندازه‌های مورد نظر برش خوردن و برای صفحات دو طرف پانل عایق ساختمانی آماده شدند. برای کلاف دورتادور لایه مغزی، از چوب نراد با ضخامت ۱۰ میلی‌متر استفاده شد که با منگنه و چسب پلی‌وینیل استات به هم متصل شدند. ابعاد کلاف‌ها و نمونه‌ها با توجه به نوع آزمون‌های مورد نظر متفاوت بود. برای نمونه‌های پانل عایق ساختمانی با لایه مغزی پلی‌استایرن، فوم منبسط شده با ضریب فشرده‌گی زیاد، توسط دستگاه صفحه‌بر برش داده شد و درون کلاف‌های چوبی قرار گرفت. برای نمونه‌های هوا، لایه‌های مغزی بدون هیچ‌گونه ماده خاصی در نظر گرفته شدند.

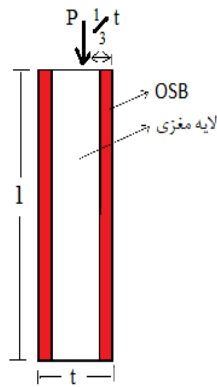
به‌منظور ایجاد اتصال صفحات تخته‌تراشه جهت‌دار به کلاف‌های چوبی و مغزی‌های پلی‌استایرن، از چسب با پایه پلی‌اورتان با نام تجاری Akfix P645 استفاده شد که توسط کاردک به‌شکل لایه‌ای نازک روی سطح تخته‌تراشه جهت‌دار مالیده شد و قطعات پانل عایق ساختمانی به یکدیگر متصل شدند. قطعات ساخته شده توسط گیره دستی به مدت یک هفته در فضای آزمایشگاه نگهداری شدند. شکل ۱ نمونه‌ای از پانل‌های ساخته شده را نشان می‌دهد.

آزمون هدایت حرارتی

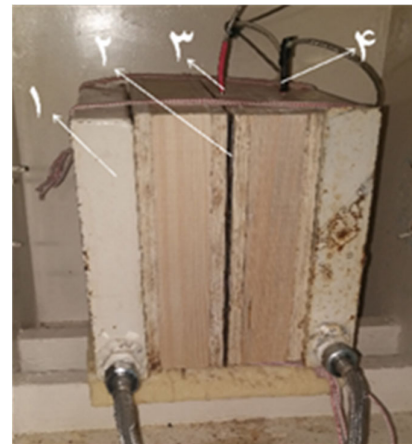
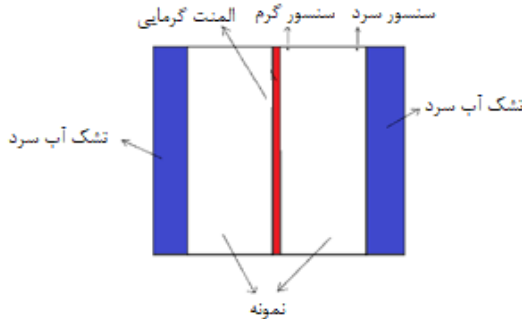
این آزمون با استفاده از دستگاه آزمایشگاه دانشکده منابع طبیعی دانشگاه تهران مطابق استاندارد ASTM C177 انجام گرفت. ابعاد نمونه استاندارد 20×20 سانتی متر در دو ضخامت ۶ و ۴ سانتی متر در نظر گرفته شد و برای اندازه گیری ضریب هدایت حرارتی هر بار دو نمونه در داخل دستگاه در یک محیط ایزوله قرار گرفت. سطح مقطع بالایی یکی از این نمونه ها توسط مته سوراخ شد تا حسگرهای حرارتی در داخل نمونه قرار گیرند (شکل ۴).

آزمون فشار محوری

این آزمون مطابق استاندارد (اصلاح شده) ASTM E1803 در دانشکده منابع طبیعی دانشگاه تهران انجام گرفت. فک مخصوصی برای این منظور طراحی و بر یک سوم ضخامت بالایی نمونه اعمال شد. به علت محدودیت در دستگاه، ابعاد نمونه به تناسب اندازه های ذکر شده در استاندارد کوچک شد و در نهایت نمونه به ابعاد 40×20 سانتی متر و با ضخامت های ۶ و ۴ سانتی متر آزمون شد (شکل ۳).



شکل ۳. آزمون فشار محوری روی پانل های عایق ساختمانی



شکل ۴. نحوه قرار گیری نمونه ها در دستگاه اندازه گیری ضریب هدایت حرارتی: ۱. تشک آب سرد؛ ۲. المنت گرمایی؛ ۳. حسگر گرم؛ ۴. حسگر سرد.

$$A = \text{مساحت سطح نمونه (m}^2)$$

تحلیل آماری

تجزیه و تحلیل داده‌ها با استفاده از طرح کاملاً تصادفی و آزمون فاکتوریل کامل به وسیله نرم‌افزار SPSS انجام گرفت و با استفاده از روش تجزیه واریانس، تأثیر مستقل و متقابل متغیرها ارزیابی و با استفاده از نرم‌افزار اکسل نمودارهای مورد نظر رسم شد.

نتایج و بحث

نتایج کلی مقادیر محاسبه شده نمونه‌ها در جدول ۳ آورده شده است.

مقدار ضریب هدایت حرارتی نمونه‌ها از طریق رابطه

زیر محاسبه شد:

$$K = \frac{q\Delta X}{A\Delta t} \quad (1)$$

K = مقدار عددی ضریب هدایت حرارتی جسم (W/m.k)

q = عدد نشان داده شده توسط دستگاه وات‌متر. چون

صفحهٔ فلزی بر سطح دو نمونه برخورد دارد، مقدار q بر

دو تقسیم می‌شود (W)

ΔX = فاصله میان دو حسگر سرد و گرم (m)

Δt = اختلاف دمای میان حسگر سرد و گرم بر حسب

کلوین (K)

جدول ۳. میانگین مقادیر اندازه‌گیری خواص مکانیکی و ضریب هدایت حرارتی پانل‌های عایق ساختمانی

نوع لایه مغزی (cm)	ضخامت	هوای پلی‌استایرن	هوای ۴	هوای ۲	هوای ۴	هوای ۲	هوای ۴	هوای ۲	
مقاومت خمشی (MPa)	مقاومت خمشی (MPa)	۱۷/۴۱	۱۳/۸۴	۱۲/۱۲	۱۰/۶۹	۲۷/۱۷	۴۳/۰۴	۲۷/۴۱	۳۴/۷۴
مدول خمشی (MPa)	مدول خمشی (MPa)	۱/۱۷۴	۰/۹۷۹	۰/۹۶۷	۰/۷۶۳	۰/۳۱۳	۰/۲۶۷	۰/۲۷	۰/۲۲
تش فشار محوری (MPa)	تش فشار محوری (MPa)	۰/۰۵۳	۰/۰۵۷۸	۰/۰۵۹	۰/۰۷۰۹				
مقاومت انصالی خط چسب (MPa)	مقاومت انصالی خط چسب (MPa)								
ضریب هدایت حرارتی (W/mK)	ضریب هدایت حرارتی (W/mK)								

اما مدول الاستیسیته برای نمونه با ضخامت ۴ سانتی‌متر به ۲۷۲۹/۱۶ مگاپاسکال و برای نمونه با ضخامت ۲ سانتی‌متر به ۳۸۸۹/۳۳ مگاپاسکال (با افزایش ۴۲/۵۱ درصد) می‌رسد (شکل ۵ ب).

مطابق جدول آنالیز واریانس (جدول ۴) اثر متقابل نوع لایه مغزی و ضخامت لایه مغزی بر مقاومت خمشی معنادار است. مقاومت خمشی در پانل‌های با لایه مغزی به ضخامت ۲ سانتی‌متر (۱۳/۸۴ مگاپاسکال) در مقایسه با پانل‌های با لایه مغزی پلی‌استایرن با ضخامت ۴ سانتی‌متر (۱۷/۴۱ مگاپاسکال) درصد کاهش می‌یابد (شکل ۵ الف). همچنین مقاومت خمشی در نمونه‌های با لایه مغزی هوای ضخامت ۴ سانتی‌متر (۱۲/۱۲۶ مگاپاسکال) در مقایسه با لایه مغزی ۲ سانتی‌متر (۱۳/۴۷ مگاپاسکال) درصد کاهش می‌یابد و به ۱۰/۶۹ مگاپاسکال می‌رسد.

آزمون خمش

با توجه به جدول آنالیز واریانس (جدول ۴)، مقاومت خمشی پانل عایقی مورد نظر تحت تأثیر معنی دار نوع لایه مغزی است و مقدار آن در پانل با لایه مغزی هوای ۱۱/۴۱ (مگاپاسکال) در مقایسه با پانل با لایه مغزی پلی‌استایرن (۱۵/۶۲ مگاپاسکال)، درصد کاهش یافته است (شکل ۵ الف). درباره تأثیر نوع ماده مغزی بر مقدار مدول الاستیسیته، اختلاف معنی دار مشاهده نشد، هرچند در پانل‌های با لایه مغزی پلی‌استایرن بیشتر از پانل‌های با لایه مغزی هوای بود (شکل ۵ ب).

نتایج همچنین نشان داد (جدول ۴) که ضخامت لایه مغزی ۴ سانتی‌متر و ۲ سانتی‌متر به ترتیب دارای مقاومت خمشی ۱۴/۰۵ و ۱۲/۹۸ مگاپاسکال (کاهش ۸/۲۴ درصد) است، هرچند این اختلاف معنی دار نیست (شکل ۵ الف).

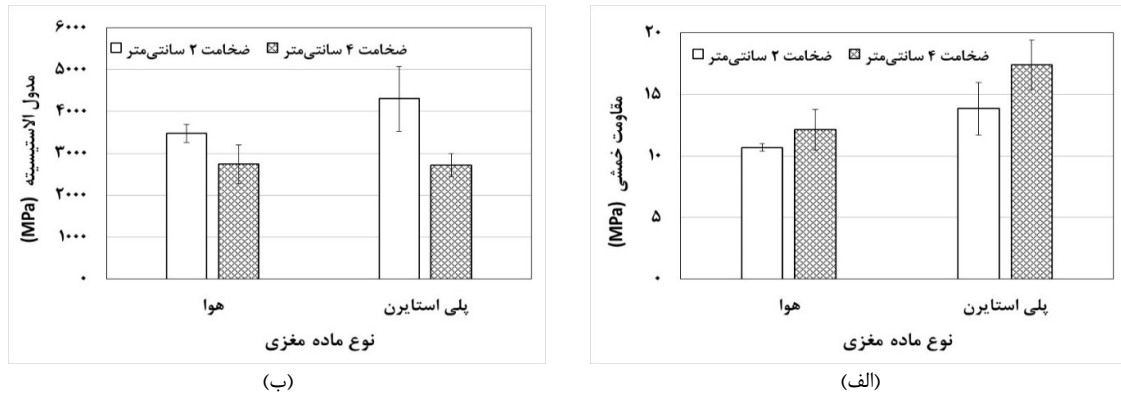
اول منحنی تنش-کرنش افزایش می‌یابد. افزایش ضخامت لایه مغزی تا حدی مقاومت خمشی نمونه‌ها را افزایش داد که ویژگی مثبت و مهمی است. به طور کلی، در ضخامت بزرگ‌تر لایه مغزی متراکم‌تر و سخت‌تر خواهد بود و تحمل بار بیشتری از خود نشان خواهد داد [۱۷، ۴]. اما در مقابل مدول الاستیسیته نمونه‌ها در ضخامت بیشتر کاهش یافت که دلیل احتمالی آن، محدودیت‌های آزمایش و دشواری دستیابی به نمونه‌های طویل‌تر در ضخامت‌های بیشتر و افزایش تأثیر نیروهای برشی است [۱۳، ۴].

در پانل‌های عایق ساختمانی مطالعه شده، وجود لایه مغزی پلی‌استایرن و به تبع آن وجود خط چسب بیشتر، سبب افزایش سطح چسبینگی می‌شود که خود می‌تواند عامل تقویت‌کننده در افزایش مقاومت خمشی نمونه‌ها در نظر گرفته شده و در نتیجه تنش در کل پانل یکنواخت‌تر اعمال شود [۵، ۹]. یکی از عوامل تأثیرگذار در مدول الاستیسیته مواد، توانایی میزان جابه‌جایی یا تغییر ابعاد در ماده است که در این تحقیق، با تغییر نوع لایه مغزی از هوا به پلی‌استایرن، امکان جابه‌جایی ماده در زیر بار و تغییر شکل آن و به عبارت دیگر رفتار الاستیک نمونه در ناحیه

جدول ۴. تجزیه واریانس اثر عوامل مختلف بر خواص پانل‌های عایق ساختمانی

منبع تغییرات	خواص نمونه‌ها	درجه آزادی	مجموع مربعات	میانگین مربعات	F	sig
لايه مغزی	مقاومت خمشی	۱	۵۳/۲۵۷	۵۳/۲۵۷	۳۲/۳	.۰۰۳**
ضخامت	مدول الاستیسیته خمشی	۱	۴۸۷۶۳۰/۰۸	۴۸۷۶۳۰/۰۸	۲/۹۳	.۰۱۸۷ns
لايه مغزی * ضخامت	تش فشار محوری	۱	۰/۱۳۴	۰/۱۳۴	۳/۵	.۰۰۹۷ns
خطا	مقاومت انفصالي خط چسب	۱	۰/۰۰۵	۰/۰۰۵	۱۶/۱۵	.۰۰۴**
كل	ضریب هدایت حرارتی	۱	۰/۰۰۰	۰/۰۰۰	۱۹۴/۶	.۰۰**
	مقاومت خمشی	۱	۲/۴۳۵	۲/۴۳۵	۴/۳۶	.۰۳۰۴ns
	مدول الاستیسیته خمشی	۱	۴۰۳۷۹۶۰/۰۸	۴۰۳۷۹۶۰/۰۸	۲۵/۱۲	.۰۰۳**
	تش فشار محوری	۱	۶/۱۲×۱۰⁻۵	۶/۱۲×۱۰⁻۵	۰/۰۰۲	.۰۹۷ns
	مقاآمت انفصالي خط چسب	۱	۰/۰۰۶	۰/۰۰۶	۱۸/۳۶	.۰۰۳**
	ضریب هدایت حرارتی	۱	۰/۰۰	۰/۰۰	۲۵۳/۸	.۰۰**
	مقاومت خمشی	۱	۱۸/۷۵	۱۸/۷۵	۱۲/۷	.۰۰۳**
	مدول الاستیسیته خمشی	۱	۵۴۶۵۶۰/۰۸	۵۴۶۵۶۰/۰۸	۱/۵۲	ns .۰/۱۶۵
	تش فشار محوری	۱	۰/۱۲	۰/۱۲	۳/۱۶	.۰/۱۱۳ns
	مقاآمت انفصالي خط چسب	۱	۲/۱۳×۱۰⁻۵	۲/۱۳×۱۰⁻۵	۰/۰۷	ns .۰/۷۹
	ضریب هدایت حرارتی	۱	۴/۱۴×۱۰⁻۵	۴/۱۴×۱۰⁻۵	۳۹/۸۱	.۰۰**
	مقاومت خمشی	۸	۲۲/۷	۲۲/۷	۲/۸۳۷	
	مدول الاستیسیته خمشی	۸	۱۸۶۸۰.۶	۱۸۶۸۰.۶	۲۳۳۶۰/۷۵	
	تش فشار محوری	۸	۰/۳۰۴	۰/۳۰۴	.۰/۰۳۸	
	مقاآمت انفصالي خط چسب	۸	۰/۰۰۲	۰/۰۰۲	.	
	ضریب هدایت حرارتی	۸	۸/۳۳×۱۰⁻۶	۸/۳۳×۱۰⁻۶	۱/۰۴×۱۰⁻۶	
	مقاومت خمشی	۱۲	۲۲۹۱/۰۸۵	۲۲۹۱/۰۸۵		
	مدول الاستیسیته خمشی	۱۲	۱۳۸۳۵۴۵۸۳	۱۳۸۳۵۴۵۸۳		
	تش فشار محوری	۱۲	۱۱/۸۷۵	۱۱/۸۷۵		
	مقاآمت انفصالي خط چسب	۱۲	۰/۸۸۸	۰/۸۸۸		
	ضریب هدایت حرارتی	۱۲	۰/۰۴۴	۰/۰۴۴		

**: معنی داری در سطح ۰/۱، ns: معنی دار نبودن



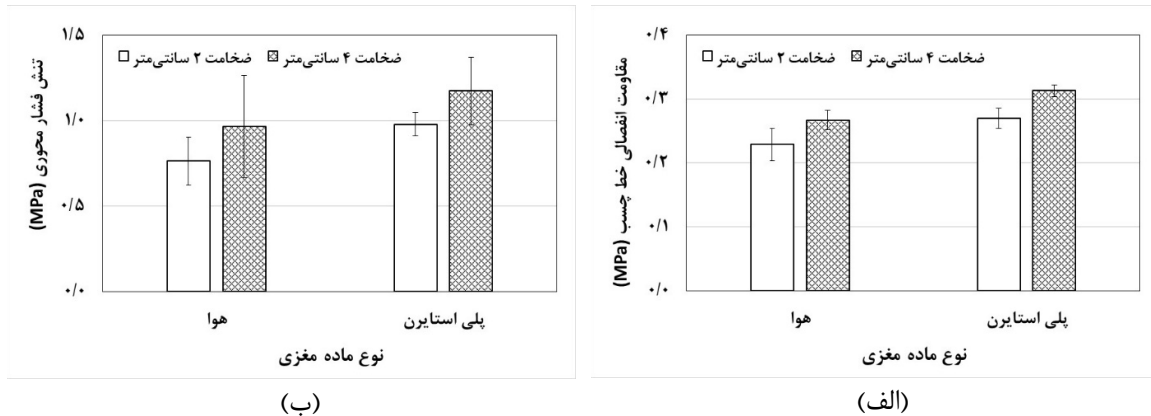
شکل ۵. اثر نوع و ضخامت لایهٔ مغزی بر (الف) مقاومت خمشی؛ (ب) مدول الاستیسیتهٔ پانل عایق ساختمانی.

لایهٔ مغزی پلی استایرن و ضخامت ۴ سانتی‌متر بزرگ‌تر از مقدار آن در سایر نمونه‌ها بودست آمد. وجود لایهٔ مغزی پلی استایرن و به‌تبع آن وجود خط چسب بیشتر را می‌توان دلیل افزایش مقاومت انفصالي خط چسب در نمونه‌های با لایهٔ مغزی پلی استایرن دانست [۹]. در نمونه با لایهٔ مغزی هوا، حضور فقط کلاف دور سبب می‌شود تا مقاومت کمتری نسبت به نمونه با لایهٔ مغزی پلی استایرن به وجود آید. همچنین تمرکز تنش در نمونه‌های با لایهٔ مغزی ۴ سانتی‌متر به‌علت ارتفاع بیشتر، نسبت به نمونه با لایهٔ مغزی ۲ سانتی‌متر کمتر است و به‌علت دور بودن تمرکز تنش سبب می‌شود که نمونه با ضخامت لایهٔ مغزی ۴ سانتی‌متر دارای مقاومت انفصالي خط چسب بزرگ‌تری باشد [۱۳، ۴].

مقاومت انفصالي خط چسب

با توجه به نتایج آنالیز واریانس (جدول ۴) نوع لایهٔ مغزی بر مقاومت انفصالي خط چسب تأثیر معنی‌داری دارد و مقدار آن در پانل‌های با لایهٔ مغزی پلی استایرن از ۰/۲۹ مگاپاسکال به ۰/۲۵ مگاپاسکال در نمونه‌های با لایهٔ مغزی هوا می‌رسد (کاهش ۱۳/۸ درصد) (شکل ۶ الف). اثر ضخامت لایهٔ مغزی بر مقاومت انفصالي خط چسب نیز معنی‌دار است (جدول ۴) و پانل‌های با ضخامت لایهٔ مغزی ۴ سانتی‌متر و ۲ سانتی‌متر به ترتیب دارای مقادیر ۱۴/۰۵ و ۱۲/۹۸ مگاپاسکال (کاهش ۸/۲۴ درصدی) هستند (شکل ۶ الف).

نوع لایهٔ مغزی و ضخامت لایهٔ مغزی بر مقاومت انفصالي خط چسب به‌طور همزمان تأثیر معناداری ندارند (جدول ۴). هرچند مقدار این مقاومت در نمونه‌های با



شکل ۶. اثر نوع و ضخامت لایهٔ مغزی بر (الف) مقاومت انفصالي خط چسب؛ (ب) تنش فشار محوری پانل عایق ساختمانی.

آزمون هدایت حرارتی

مطابق نتایج آنالیز واریانس (جدول ۴) نوع لایه مغزی بر ضریب هدایت حرارتی پانل تأثیر معنی داری دارد و از ۰/۰۵۶۲ وات بر متر کلوین در پانل با لایه مغزی پلی استایرن به ۰/۰۶۴۴ وات بر متر کلوین در نمونه با لایه مغزی هوا می رسد (افزایش ۱۴/۴۳ درصد). همچنین مشخص شد (جدول ۴) که ضریب هدایت حرارتی در دو ضخامت لایه مغزی اختلاف معنی داری دارد و مقدار آن در پانل با ضخامت لایه مغزی ۴ و ۲ سانتی متر به ترتیب ۰/۰۵۵ و ۰/۰۶۵ وات بر متر کلوین است که ۱۶/۱۶ درصد افزایش می یابد. به عبارت دیگر، افزایش ضخامت تأثیر بسزایی بر کاهش ضریب هدایت حرارتی پانل دارد و سبب افزایش خواص عایقی آن می شود (شکل ۷).

اثر متقابل نوع لایه مغزی و ضخامت آن (جدول ۴)، بر ضریب هدایت حرارتی معنادار است. ضریب هدایت حرارتی پانل با لایه مغزی هوا و ضخامت ۴ و ۲ سانتی متر، به ترتیب ۰/۰۵۷۸ و ۰/۰۷ وات بر متر کلوین اندازه گیری شد که ۱۷/۴ درصد افزایش یافته است. ضریب هدایت حرارتی پانل با لایه مغزی پلی استایرن و ضخامت ۴ و ۲ سانتی متر نیز به ترتیب ۰/۰۵۳۳ و ۰/۰۵۸ وات بر متر کلوین محاسبه شد که ۹/۶۶ درصد افزایش یافته است (شکل ۷).

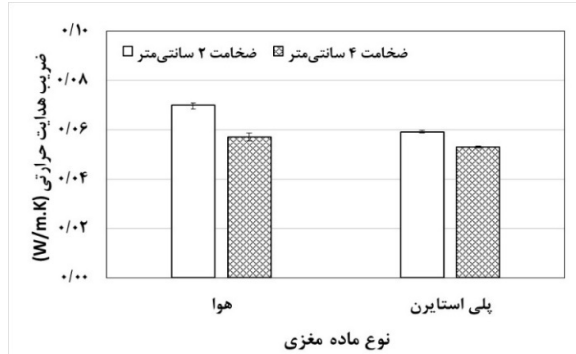
به طور کلی، پانل با لایه مغزی پلی استایرن به دلیل ضریب هدایت حرارتی کمتر آن نسبت به هوا، خواص عایق حرارتی بهتری را از خود نشان می دهد که مطابق با توصیه مقررات ملی ساختمان ایران مبحث ۱۹ است [۱۸]. همچنین هر دو نمونه لایه مغزی با ضخامت ۴ سانتی متر، دارای ضریب هدایت حرارتی کمتری نسبت به نمونه با ضخامت لایه مغزی ۲ سانتی متری است. بنابراین به طور کلی می توان گفت لایه مغزی پلی استایرن با ضخامت بیشتر عایق بهتری در برابر انتقال حرارت است و از نظر ذخیره انرژی می تواند در اولویت باشد. این موضوع در تحقیقات قبلی نیز گزارش شده است [۱۰].

آزمون فشار محوری

با توجه به جدول آنالیز واریانس (جدول ۴) نوع لایه مغزی بر تنفس فشار محوری تأثیر معنی داری ندارد. هرچند مقدار آن در پانل با لایه مغزی پلی استایرن و هوا به ترتیب ۱/۰۷۶۹ و ۰/۸۶۴ مگاپاسکال (کاهش ۱۹/۷۶ درصد) برآورد شد. همچنین مطابق نتایج آنالیز واریانس، ضخامت لایه مغزی بر تنفس فشار محوری تأثیر معنی داری نداشت. مقدار این تنفس در پانل با لایه مغزی با ضخامت ۴ و ۲ سانتی متر، به ترتیب ۱/۰۷۰۵ و ۰/۸۷۱ مگاپاسکال (کاهش ۱۸/۶۳ درصد) محاسبه شد.

در همین زمینه، جدول آنالیز واریانس (جدول ۴) نشان می دهد که نوع لایه مغزی و ضخامت آن بر تنفس فشار محوری تأثیر متقابل معناداری ندارند. مقدار این تنفس در پانل با لایه مغزی هوا به ضخامت ۴ سانتی متر ۰/۹۶۷ درصد کاهش یافت و به مگاپاسکال است و زمانی که از لایه مغزی ۲ سانتی متری استفاده شد، این ویژگی ۲۱ درصد کاهش یافت و به ۰/۷۶۳ مگاپاسکال رسید. به همین ترتیب، مقدار این تنفس در پانل با لایه مغزی پلی استایرن به ضخامت ۴ سانتی متر ۱/۱۷۴ مگاپاسکال برآورد شد و در ضخامت ۲ سانتی متر به ۰/۹۷۹۱ مگاپاسکال (کاهش ۱۶/۶ درصد) رسید (شکل ۶ ب).

سازوکار رفتار پانل در مقابل بار فشار محوری، ارتباط نزدیک با مقاومت خط چسب و همچنین سطح مقطع زیر بار دارد [۹]. به همین دلیل، الگوی تغییرات مقدار این تنفس از الگوی تغییرات مقاومت انفصالی خط چسب تعیت می کند و همان بحث ارائه شده برای این ویژگی تعمیم پذیر است. بنابراین باید توجه داشت که با تغییر ضخامت لایه مغزی از ۲ به ۴ سانتی متر به دلیل ثابت بودن دیگر ابعاد نمونه، سطح مقطع زیر بار افزایش می یابد و نیرو و تنفس فشاری بیشتری برای شکستن آن لازم است. در همین زمینه، لایه مغزی پلی استایرن مقاومت فشاری بیشتری را در مقایسه با لایه مغزی هوا به وجود می آورد [۳].



شکل ۷. اثر نوع و ضخامت لایه مغزی بر ضریب هدایت حرارتی پانل عایق ساختمانی

توجه به این تحقیق می‌توان نتیجه‌گیری کرد که استفاده از لایه مغزی پلی استایرن به علت افزایش سطح تماس چسب با لایه سطحی، سبب می‌شود تا مقاومت‌های مکانیکی پانل بزرگ‌تر از نمونه با لایه مغزی هوا باشد. همچنین افزایش ضخامت لایه مغزی پانل، سبب افزایش مقاومت‌های مکانیکی مطالعه شده (به جز مدول الاستیسیته) می‌شود. به طور کلی، پانل ساخته شده با لایه مغزی پلی استایرن و ضخامت بیشتر، ضریب هدایت حرارتی کمتری در مقایسه با پانل لایه مغزی هوا دارد و در حفظ انرژی اولویت بیشتری می‌تواند داشته باشد. هرچند مشکلات احتمالی زیست‌محیطی و ایمنی آن باید در نظر گرفته شود. در همین زمینه، پانل‌های با لایه مغزی هوا و ضخامت‌های بیشتر به دلیل داشتن ضریب هدایت حرارتی به نسبت کم (عایق حرارتی مطلوب) و مقاومت‌های مکانیکی تا حدودی کمتر از لایه مغزی پلی استایرن، در موارد کاربردی که اعمال نیروی کمتری ضروری است به عنوان انتخاب مناسب و اقتصادی می‌تواند مطرح شود.

به همین ترتیب، در صورت استفاده از هوا به عنوان لایه مغزی، استفاده از ضخامت‌های بیشتر برای پانل‌ها به دلیل عایق بودن بهتر در مقابل انتقال حرارت انتخاب مناسب‌تری محسوب می‌شود، زیرا افزایش ضخامت تأثیر بسزایی بر ضریب هدایت حرارتی نمونه دارد. براساس قانون مبحث ۱۹ مقررات ملی ساختمان [۱۸]، پلی استایرن و هوا عایق‌های بسیار خوبی هستند و در همین زمینه با افزایش ضخامت لایه مغزی عبور گرما از پانل کنترل صورت می‌گیرد و نشان‌دهنده عایق بودن بهتر آن است، اما ممکن است به علت مشکل تجمع گرما در سطح و در صورت افزایش حرارت، احتمال آتش‌سوزی بیشتر شود.

نتیجه‌گیری

هدف اصلی این پژوهش، ساخت و بررسی خواص مکانیکی و حرارتی پانل عایق ساختمانی با استفاده از تخته‌تراشه جهت‌دار صنوبه در لایه رویی و پلی استایرن منبسط‌شده در لایه مغزی بود تا بتوان آن را به صورت صنعتی معرفی و در ساخت ساختمان‌های موجود در ایران اعم از بتُن، فلزی و چوبی استفاده کرد. به طور کلی، با

References

- [1]. Aditya, L., Mahlia, T.M.I., Rismanchi, B., Ng, H.M., Hasan, M.H., Metselaar, H.S.C., Muraza, Oki, and Aditiya, H.B. (2017). A review on insulation materials for energy conservation in buildings. Renewable and Sustainable Energy Reviews, 73: 1352-1365.
- [2]. Madhoushi, M. (2016) Green Building Biomaterials. Iranian Students Booking Agency.
- [3]. Jacques, E., Makar, J. (2019). Behavior of structural insulated panels subjected to short-term axial loads. Journal of Structural Engineering, 145(11): 4019-4118.

- [4]. Jacques, E., and Makar, J. (2019). Behaviour of structural insulated panels (SIPs) subjected to short-term out-of-plane transverse loads. Canadian Journal of Civil Engineering, 46(9): 858-869.
- [5]. Smakosz, L., and Tejchman, J. (2014). Evaluation of strength, deformability and failure mode of composite structural insulated panels. Materials and Design, 54: 1068-1082.
- [6]. Mousa, M.A., and Uddin, N. (2012). Structural behavior and modeling of full-scale composite structural insulated wall panels. Engineering Structures 41: 320-334.
- [7]. Vaidya, A., Uddin, N., and Vaidya, U. (2010). Structural characterization of composite structural insulated panels for exterior wall applications. Journal of Composites for Construction, 14 (4): 464-469.
- [8]. Villasmil, W., Fischer, L.J., and Worlitschek, J. (2019). A review and evaluation of thermal insulation materials and methods for thermal energy storage systems. Renewable and Sustainable Energy Reviews, 103: 71-84.
- [9]. Ghofrani, M., Pishan, S., and Talaei, A. (2014). The effect of core type and skin on the mechanical properties of lightweight sandwich panels. Iranian Journal of Wood and Paper Science Research, 28 (4): 720-731.
- [10]. Hester, N., Li, K., Schramski, J.R., and Crittending, J. (2012). Dynamic modeling of potentially conflicting energy reduction strategies for residential structures in semi-arid climates. Journal of Environmental Management, 97: 148-153.
- [11]. Panjehpour, M., Ali, A.A., and Voo, Y.L. (2013). Structural insulated panels: past, present, and future. Journal of Engineering, Project, and Production Management, 3(1): 2-8.
- [12]. Akay, M., and Hanna, R. (1990). A comparison of honeycomb-core and foam-core carbon-fibre/epoxy sandwich panels. Composites, 21(4): 325-331.
- [13]. Basunbul, I.A., Saleem, M., and Sulaimani Al, G.J. (1991). Flexural behavior of ferrocement sandwich panels. Cement and Concrete Composites, 13: 21-28.
- [14]. Kermany, A., and Hairstans, R. (2006). Racking performance of structural insulated panels. Journal of Structural Engineering, 11: 1806-1812.
- [15]. Batouli, S.M., and Zu, Y. (2013). Comparative life-cycle assessment study of kenaf fiber-based and glass fiber-based structural insulation panels. Int. Conf. Construction and Real Estate Management, 377-388.
- [16]. Hopkin, D.J., Lennon, T., El-Rimawi, J., and Silberschmidt, V. (2011). Full-scale natural fire tests on gypsum lined structural insulated panel (SIP) and engineered floor joist assemblies. Fire Safety Journal, 46: 528-542.
- [17]. Erickson, M.D., Kallmeyer, A.R., and Kellogg, K.G. (2005). Effect of temperature on the low-velocity impact behavior of composite sandwich panels. Journal of Sandwich Structures and Materials, 7: 245-264.
- [18]. National Building Regulations. (2011). Topic 19 Energy Consumption Saving. Ministry of Housing and Urban Development, 172 p.

Effect of type and thickness of core on mechanical properties and thermal conductivity transfer of SIP made of poplar OSB

M. Madhoushi*; Assoc. Prof., Department of Wood Engineering and Technology, Gorgan University of Agricultural Sciences and Natural Resources, Gorgan, I.R. Iran.

R. Bagheri Seraj; M.Sc. Graduated in Wood Composites, Gorgan University of Agricultural Sciences and Natural Resources, Gorgan, I.R. Iran.

T. Tabarsa; Prof., Department of Wood Engineering and Technology, Gorgan University of Agricultural Sciences and Natural Resources, Gorgan, I.R. Iran.

(Received: 24 March 2020, Accepted: 15 July 2020)

ABSTRACT

One of the most important issues in a building is energy saving with adequate resistance throughout the structure. In this regard, structural insulation panels (SIPs) have always been considered as viable options because of their advantages such as providing robust structures, insulation, economical construction and energy conservation. The purpose of this study was to investigate the mechanical properties and thermal conductivity of building SIP made with poplar OSB as skin layers and two types of core layers (expanded polystyrene and air) in two thicknesses of 2 and 4 cm. OSB was made by hand-justified poplar strands in three layers perpendicular to each other using phenol-formaldehyde glue. Then the SIPs were made and the solid wood was used as a frame for core layer of panels. Then, SIPs and test samples were prepared in standard dimensions followed by experimental testing of bending, compression parallel to fibers, withdrawal strength of adhesive line, and heat transfer. Statistical analysis and the results showed that by changing the core type from air to polystyrene all mechanical strengths of the building insulation panels increased. Increasing the thickness of the core layer also had a positive effect on the mechanical properties of the building insulation panels. Moreover, the type of core layer of air and polystyrene had no significant effect in the thermal conductivity, however, increasing the thickness of core layer had a positive effect on increasing the thermal resistance in both types of panels.

Keywords: Extended polystyrene, Mechanical properties, OSB, Structural insulation panel (SIP), Thermal conductivity.

* Corresponding Author, Email: madhoushi@gau.ac.ir, Tel: +981732427176